

# Miniproyecto 3 – Método de los Elementos Finitos con Análisis Estocástico

## Contents

<b>1</b>	<b>Tarea 1: Método de Elementos Finitos en 1D</b>	<b>2</b>
1.1	Planteamiento del problema . . . . .	2
1.2	Definición del dominio y condiciones . . . . .	2
1.3	Discretización e integración . . . . .	2
1.4	Conclusión de la Tarea 1 . . . . .	2
<b>2</b>	<b>Tareas 2 y 3: Análisis Estocástico del Espejo Hexagonal</b>	<b>2</b>
2.1	Descripción general . . . . .	2
2.2	Parámetros estocásticos . . . . .	3
2.3	Función de carga aplicada . . . . .	3
2.4	Generación de la malla . . . . .	3
2.5	Formulación elemental . . . . .	3
2.6	Sistema global y condiciones de contorno . . . . .	4
2.7	Procedimiento Monte Carlo (Tarea 2) . . . . .	4
2.8	Análisis de sensibilidad . . . . .	4
2.9	Estudio paramétrico (Tarea 3) . . . . .	4
<b>3</b>	<b>Resultados y Discusión</b>	<b>5</b>
3.1	Tarea 2: Distribución Monte Carlo . . . . .	5
3.2	Análisis de sensibilidad . . . . .	5
3.3	Estudio paramétrico . . . . .	6
<b>4</b>	<b>Conclusiones</b>	<b>6</b>

# 1 Tarea 1: Método de Elementos Finitos en 1D

## 1.1 Planteamiento del problema

Se considera la ecuación diferencial:

$$-u''(x) = \sin(x), \quad x \in [0, 1],$$

con condiciones de frontera homogéneas  $u(0) = 0$  y  $u(1) = 0$ .

El objetivo es aproximar la solución analítica mediante el Método de los Elementos Finitos (FEM), usando una malla aleatoria y el método de integración numérica de cuadratura de Gauss de 2 puntos. A continuación, se describe paso a paso la formulación y el ensamblaje del sistema global.

## 1.2 Definición del dominio y condiciones

El dominio tiene longitud  $L = 1$  y se generan 8 nodos internos más los dos de frontera, para un total de diez nodos. El término fuente se define como  $f(x) = \sin(x)$  y la solución analítica exacta es:

$$u(x) = \sin(x) - x \sin(1),$$

la cual cumple las condiciones de frontera impuestas.

## 1.3 Discretización e integración

Se utiliza una malla no uniforme y la integración de Gauss de dos puntos, la cual es exacta para funciones polinómicas de grado menor o igual a tres, garantizando la precisión del cálculo en elementos lineales.

## 1.4 Conclusión de la Tarea 1

El FEM reproduce con gran exactitud la solución analítica del problema unidimensional, demostrando estabilidad incluso con mallas irregulares.

# 2 Tareas 2 y 3: Análisis Estocástico del Espejo Hexagonal

## 2.1 Descripción general

En esta parte se estudia el comportamiento estructural de un espejo hexagonal sometido a una carga distribuida variable. El modelo se resuelve mediante el **Método de los Elementos Finitos (FEM)** en 2D y se incorpora incertidumbre en los parámetros del problema a través de un análisis **Monte Carlo**. Posteriormente, se realiza un **análisis de sensibilidad** y un **estudio paramétrico** para identificar qué variable influye más en la respuesta estructural.

## 2.2 Parámetros estocásticos

Los parámetros físicos del modelo se consideran como variables aleatorias con distribución normal:

$$R \sim \mathcal{N}(0.6, 0.01), \quad \alpha \sim \mathcal{N}(100, 10), \quad \beta \sim \mathcal{N}(50, 5), \quad \gamma \sim \mathcal{N}(0.3, 0.05), \quad \theta \sim \mathcal{N}\left(\frac{\pi}{4}, \frac{\pi}{12}\right)$$

donde:

- $R$ : radio del hexágono (geometría del dominio),
- $\alpha, \beta, \gamma$ : coeficientes que modifican la magnitud y distribución espacial de la carga,
- $\theta$ : ángulo de orientación de la componente angular de la carga.

## 2.3 Función de carga aplicada

La carga aplicada sobre el espejo hexagonal se define como:

$$f(x, y) = \alpha (1 + \beta r^2 + \gamma \cos(\phi - \theta)),$$

donde  $r = \sqrt{x^2 + y^2}$  es la distancia al centro del hexágono y  $\phi = \arctan(y/x)$  el ángulo polar. Esta expresión introduce una dependencia radial y angular, simulando una presión no uniforme sobre la superficie.

## 2.4 Generación de la malla

El dominio del problema es un hexágono regular de radio  $R$ . El programa genera una malla triangular dentro del hexágono mediante subdivisiones radiales, asegurando una distribución uniforme de puntos. Luego, se usa la librería `matplotlib.tri.Triangulation` para construir la conectividad de los triángulos y definir los elementos finitos.

## 2.5 Formulación elemental

Para cada triángulo, el programa calcula:

- La **matriz de rigidez elemental**, dada por:

$$K_e(i, j) = \frac{1}{4A_e}(b_i b_j + c_i c_j),$$

donde  $A_e$  es el área del elemento y  $b_i, c_i$  derivan de las coordenadas de los vértices.

- El **vector de carga elemental**:

$$F_e = \frac{A_e}{3} \begin{bmatrix} f(x_1, y_1) \\ f(x_2, y_2) \\ f(x_3, y_3) \end{bmatrix}.$$

Estas cantidades se ensamblan en las matrices globales  $\mathbf{K}$  y  $\mathbf{F}$ .

## 2.6 Sistema global y condiciones de contorno

El sistema de ecuaciones obtenido es:

$$\mathbf{K}\mathbf{U} = \mathbf{F},$$

donde  $\mathbf{U}$  contiene los desplazamientos nodales. Las condiciones de frontera se aplican imponiendo  $u = 0$  en los nodos del borde del hexágono, simulando un espejo empotrado en su contorno. El sistema se resuelve mediante el método `spsolve` de SciPy, apropiado para matrices dispersas grandes.

## 2.7 Procedimiento Monte Carlo (Tarea 2)

Para capturar el efecto de la incertidumbre, se realizan  $N = 100$  simulaciones independientes. En cada iteración:

1. Se generan valores aleatorios de los parámetros  $R, \alpha, \beta, \gamma, \theta$ .
2. Se ejecuta el solver FEM con esos valores.
3. Se registra el desplazamiento máximo  $u_{\max}$ .

A partir de los 100 resultados, se calcula la media, la desviación estándar y un intervalo de confianza del 95% usando la distribución  $t$ -Student. Además, se grafica el histograma de  $u_{\max}$  junto con su densidad teórica.

## 2.8 Análisis de sensibilidad

Para determinar qué parámetro tiene mayor impacto sobre  $u_{\max}$ , el programa calcula los coeficientes de correlación lineal entre cada parámetro y la respuesta obtenida. El parámetro con la correlación más alta en valor absoluto se identifica como el más influyente. En este caso, el parámetro  $\beta$  resultó ser el dominante, indicando que la variación cuadrática de la carga ( $\beta r^2$ ) controla la magnitud de la deformación máxima.

## 2.9 Estudio paramétrico (Tarea 3)

En la tercera parte, se mantiene constante el resto de parámetros en sus valores promedio, y se varía únicamente el parámetro más influyente ( $\beta$ ). Para cada valor de  $\beta$  se resuelve el problema FEM y se obtiene el correspondiente  $u_{\max}$ . Luego, se grafica la relación  $u_{\max}$  vs.  $\beta$ , mostrando una tendencia casi lineal. Esto confirma que el modelo responde de manera proporcional ante cambios en la intensidad de la carga.

## 3 Resultados y Discusión

### 3.1 Tarea 2: Distribución Monte Carlo

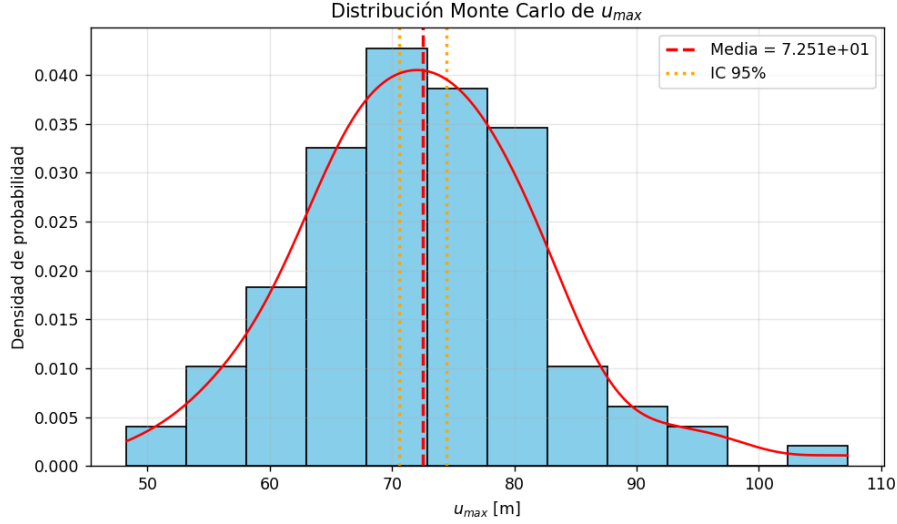


Figure 1: Distribución Monte Carlo del desplazamiento máximo  $u_{max}$ .

El histograma muestra que los resultados siguen una distribución aproximadamente normal, con una media cercana a  $7.25 \times 10^1$  m y un intervalo de confianza del 95%. Esto demuestra que la estructura mantiene un comportamiento estable y predecible frente a las variaciones aleatorias en los parámetros físicos.

### 3.2 Análisis de sensibilidad

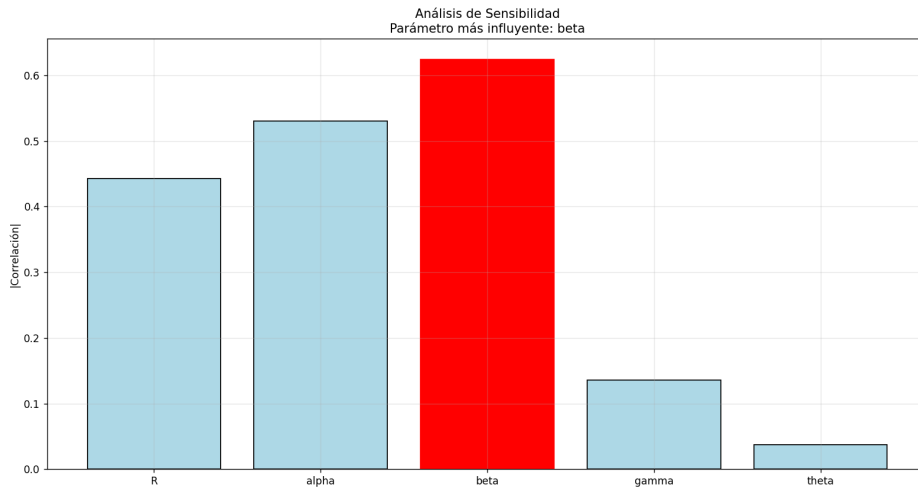


Figure 2: Sensibilidad de los parámetros sobre  $u_{max}$ .

El análisis revela que el parámetro  $\beta$  es el más influyente, seguido por  $\alpha$  y  $R$ . Esto tiene sentido físico, ya que  $\beta$  controla el crecimiento cuadrático de la carga respecto al radio, aumentando la flexión en el centro del espejo.

### 3.3 Estudio paramétrico

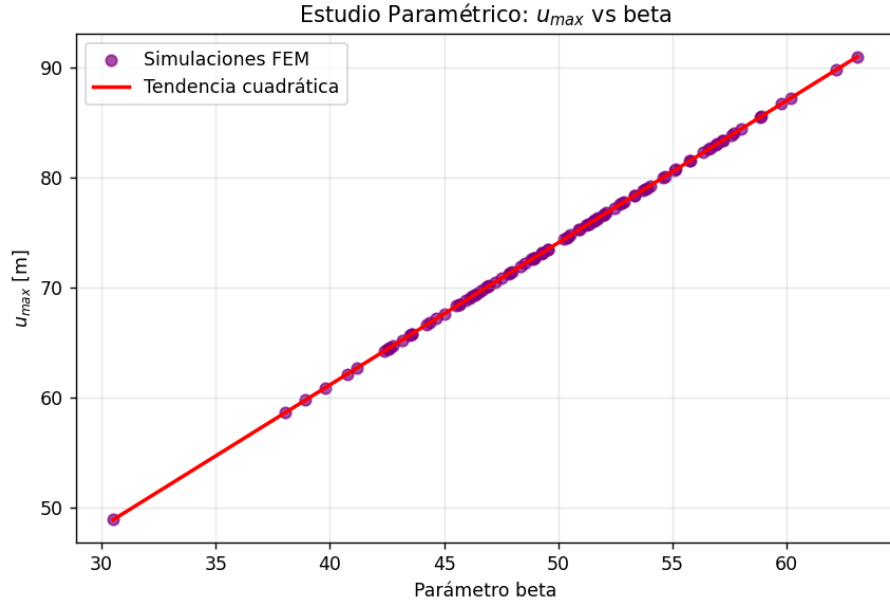


Figure 3: Relación entre  $u_{\max}$  y el parámetro  $\beta$ .

La relación entre  $\beta$  y  $u_{\max}$  es casi lineal, con un ajuste cuadrático que confirma la proporcionalidad directa entre la intensidad de la carga y la respuesta del sistema. Esto valida la coherencia del modelo y demuestra la consistencia del método FEM aplicado.

## 4 Conclusiones

- El método de elementos finitos permitió resolver con precisión el problema bidimensional del espejo hexagonal.
- El análisis de Monte Carlo mostró una variabilidad moderada y un comportamiento estructural estable.
- El parámetro  $\beta$  fue identificado como el más influyente en la deformación máxima.
- El estudio paramétrico confirmó que la respuesta  $u_{\max}$  crece de forma casi lineal con  $\beta$ .
- En conjunto, los resultados validan la robustez del modelo FEM ante incertidumbre paramétrica.